

# 報文

## 平均値法の3次元への拡張とその流量測定への応用

正員 春日屋伸昌\*

### THE EXTENSION OF THE MEAN-VALUE METHOD TO THREE DIMENSIONS AND ITS APPLICATION TO DISCHARGE MEASUREMENT

(JSCE Dec. 1955)

*Nobumasa Kasugaya, C.E. Member*

**Synopsis** The author considers about the method of calculation of the mean value of any function with two variables in rectangular domain, extending the mean-value method to three dimensions. His consideration comes to the conclusion that we can calculate the correct value of that by four points method (can be two types) or eight points method if the polynomial order of the function is the third or the fifth at most in this domain, respectively. Then he reduces the formulae for three types above mentioned. It is illustrated that we can obtain the satisfactory results, applying these formulae to the discharge measurement in an open channel with rectangular cross section, if we use the eight points method even when the flow is sufficiently turbulent, and especially the number of measuring points become merely five when the flow is symmetrical with respect to the vertical center line of the cross section.

**要旨** 平均値法を3次元に拡張して、

領域が矩形であるとき、2変数函数のこの領域内の平均値を求める方式について考察し、函数がこの領域内で高々3次ならば4点法（この方式に2つある）、高々5次ならば8点法となり、それぞれの公式を誘導した。この公式を矩形断面の開水路の流量測定に応用すれば、相当乱れた流れの場合でも8点法で十分であり、特に流れが断面の中心線に関して左右対称である場合にはわずか5点で十分満足すべき結果のえられることを示した。

#### 1. 3次元における平均値法公式の誘導

水面巾が  $b$ 、水深が  $h$  である矩形断面の開水路の流量を測定するために、流速計を挿入すべき観測点の位置と流量算定式とについて考える。

いま、一方の岸に原点、水面巾に沿つて  $x$  軸、深さに沿つて  $z$  軸をとり、点  $(x, z)$  の流速を  $v = f(x, z)$  とすれば、流量  $Q$  は、

$$Q = \int_0^h dz \int_0^b v dx \quad \dots \dots \dots (1)$$

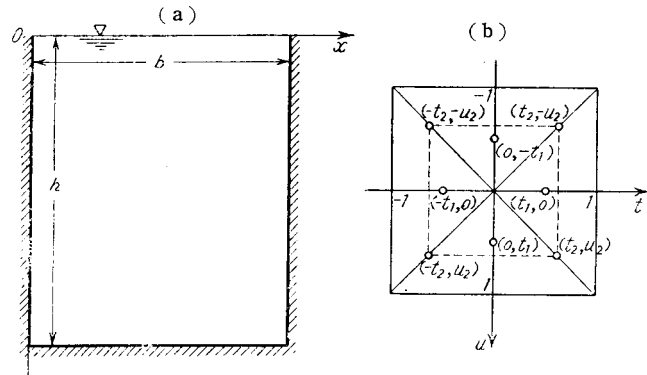
そこで、つぎの変数変換、

$$x = (1+t)b/2, z = (1+u)h/2 \quad \dots \dots \dots (2)$$

を行い、横断面積を  $A$  とすれば、(1) 式は、

\* 中央大学助教授、工学部土木工学科教室

図-1



$$Q = \frac{bh}{4} \int_{-1}^1 du \int_{-1}^1 v dt = \frac{A}{4} \int_{-1}^1 \int_{-1}^1 v dt du \quad \dots \dots \dots (3)$$

ここに、流速  $v$  は  $t, u$  の函数であつて、

$$\begin{aligned} v &= f(x, z) = f\{(1+t)b/2, (1+u)h/2\} \\ &= g(t, u) \end{aligned} \quad \dots \dots \dots (4)$$

と書くことができる。

函数  $g(t, u)$  を  $t, u$  に関する Maclaurin の級数に展開すれば、

$$\begin{aligned} g(t, u) &= g(0, 0) + \frac{1}{1!} \left( t \frac{\partial}{\partial t} + u \frac{\partial}{\partial u} \right) g(0, 0) \\ &\quad + \frac{1}{2!} \left( t \frac{\partial}{\partial t} + u \frac{\partial}{\partial u} \right)^2 g(0, 0) + \dots \\ &= \sum_{m=0}^{\infty} \frac{1}{m!} \left( t \frac{\partial}{\partial t} + u \frac{\partial}{\partial u} \right)^m g(0, 0) \end{aligned}$$

$$\text{因此, } a_{r,s} = \frac{r+s C_r}{(r+s)!} \left( \frac{\partial^{r+s} g}{\partial t^r \partial u^s} \right)_{t=0, u=0}.$$

(5) 式を (3) 式に入れて積分すれば、

$$Q = \frac{A}{4} \int_{-1}^1 \int_{-1}^1 \left\{ \sum_{r,s=0}^{\infty} a_{r,s} t^r u^s \right\} dt du \dots \dots \dots \quad (6)$$

さて、(6)式の2重積分の限界はいずれも下限が-1、上限が+1であるから、被積分函数の項のうち、 $t$ または $u$ に関する奇数次を少なくとも1つ含む項（例えば、 $t, u, tu, t^3, t^2u, tu^2, u^3, t^3u, tu^3, \dots$ などの項）は1度目または2度目の定積分の結果0となり、定数項と、 $t$ および $u$ に関する偶数次ののみで構成されている項（例えば、 $t^2, u^2, t^4, t^2u^2, u^4, \dots$ などの項）は、その一般項  $a_{r,s}t^ru^s$  が、2度の定積分の結果、 $a_{r,s}4/(r+1)(s+1)$ となる。

ゆえに、全断面平均流速を  $V_m$  とすれば、 $V_m = Q/A$  であるから、(6) 式は、つぎのようになる。

$$V_m = a_{0,0} + \frac{a_{2,0}}{3} + \frac{a_{0,2}}{3} + \frac{a_{4,0}}{5} + \frac{a_{2,2}}{9} + \frac{a_{0,4}}{5} + \dots \quad (7)$$

$$\begin{aligned} & \exists \exists \exists, \quad a_{0,0} = g(0,0), \quad a_{2,0} = \frac{1}{2!} \left( \frac{\partial^2 g}{\partial t^2} \right)_{t=0}, \\ a_{0,2} &= \frac{1}{2!} \left( \frac{\partial^2 g}{\partial u^2} \right)_{u=0}, \quad a_{4,0} = \frac{1}{4!} \left( \frac{\partial^4 g}{\partial t^4} \right)_{t=0}, \\ a_{2,2} &= -\frac{6}{4!} \left( \frac{\partial^4 g}{\partial t^2 \partial u^2} \right)_{t=0}, \quad a_{0,4} = -\frac{1}{4!} \left( \frac{\partial^4 g}{\partial u^4} \right)_{u=0}, \dots \end{aligned}$$

さて、平均値法の原理にしたがつて、(7) 式が、  
 $-1 \leq t \leq 1$ ,  $-1 \leq u \leq 1$  内に適当に選んだ  $n$  個の座標点  $(t_1, u_1)$ ,  $(t_2, u_2)$ ,  $(t_3, u_3)$ , ...,  $(t_n, u_n)$  における函数值  $v_1 = f(x_1, z_1) = g(t_1, u_1)$ ,  $v_2 = f(x_2, z_2) = g(t_2, u_2)$ ,  $v_3 = f(x_3, z_3) = g(t_3, u_3)$ , ...,  $v_n = f(x_n, z_n) = g(t_n, u_n)$  とこれらに乘じるべき係数  $R_1, R_2, R_3, \dots, R_n$  とをもつて、つきの形、

$$V_m = R_1 v_1 + R_2 v_2 + R_3 v_3 + \cdots + R_n v_n = \sum_{i=1}^n R_i v_i \quad \dots (8)$$

に近似的に等しくなるように、 $t_i, u_i, R_i$  ( $i=1, 2, 3, \dots, n$ ) の値を選ぶことを考えよう。(5) 式より、

$$v_i = g(t_i, u_i) = \sum_{r,s=0}^{\infty} a_{r,s} t_i^r u_i^s \quad (i=1,2,3,\dots,n) \quad (9)$$

であるから、これを (8) 式に入れると、

$$\begin{aligned}
 Y_m &= \sum_{i=1}^n (R_i \sum_{r,s=0}^{\infty} a_{r,s} t_i^r u_i^s) = \sum_{r,s=0}^{\infty} (a_{r,s} \sum_{i=1}^n R_i t_i^r u_i^s) \\
 &= a_{0,0} \sum_{i=1}^n R_i + a_{1,0} \sum_{i=1}^n R_i t_i + a_{0,1} \sum_{i=1}^n R_i u_i \\
 &\quad + a_{2,0} \sum_{i=1}^n R_i t_i^2 + a_{1,1} \sum_{i=1}^n R_i t_i u_i \\
 &\quad + a_{0,2} \sum_{i=1}^n R_i u_i^2 + \dots \dots \dots \quad (10)
 \end{aligned}$$

(7) 式の右辺と (10) 式の右辺とを比較し、各  $a_{r,s}$  の係数を等しいとおけば、

$$\sum_{i=1}^n R_i = 1, \quad \sum_{i=1}^n R_i t_i = 0, \quad \sum_{i=1}^n R_i u_i = 0,$$

$$\sum_{i=1}^n R_i t_i^2 = 1/3, \quad \sum_{i=1}^n R_i t_i u_i = 0$$

$$\sum_{i=1}^n R_i u_i^2 = 1/3,$$

一般に、 $\sum_{i=1}^n R_i t_i^r u_i^s = 0$  ( $r, s$  の少なくとも一方が奇数のとき)

$= 1/(r+1)(s+1)$  ( $r, s$  のいずれもが奇数でないとき, またはいずれも 0 のとき)

さて、(11)の連立方程式の数は一般に無限であるから、これらを同時に満足させる  $t_i, u_i, R_i$  ( $i=1, 2, 3, \dots, n$ ) は存在しない。そこで、上から適当な個数の方程式をとつてこれらを満足させる  $t_i, u_i, R_i$  の値を求めることとする。

そこで、図-1 (b) を見れば明らかのように、直交 2 軸  $t, u$  は正方形の中心を通り辺に平行な軸であり、 $v = g(t, u)$  の曲面形は全く任意でなんらの制約も受けていないから、図-1 (b) に示すように、もし、点  $(t_1, 0)$  ( $t_1 > 0$ ) が (11) の連立方程式の根であるとすれば、これと  $u$  軸に関して対称な点  $(-t_1, 0)$  も (11) の根でなければならない。ところで、(11)を見ると、 $t$  と  $u$  を交換しても方程式はなんら変わらないから、2 点  $(t_1, 0), (-t_1, 0)$  が (11) の根ならば、2 点  $(0, t_1), (0, -t_1)$  も (11) を満足する。すなわち、(11) を満足する点は少なくとも 4 つあって、原点より等距離に各軸上に存在する。

ところで、(11)の根は、このように座標軸上の4点を1組とする点のみではない。上と同じ考察により、図-1(b)に示すように、もし、点  $(t_2, u_2)$  ( $t_2 > 0, u_2 > 0$ ) が (11) を満足するならば、これと  $u$  軸に関して対称な点  $(-t_2, u_2)$  も (11) の根でなければならぬ。そうすると、点  $(-t_2, u_2)$  と  $t$  軸に関して対称な点  $(-t_2, -u_2)$  もまた (11) の根であり、さらにこれと  $u$  軸に関して対称な点  $(t_2, -u_2)$  も (11) の根でなければならない。ここで、 $u_2 = t_2$  とすれば、3角線上に対称的に存在する4点  $(t_2, t_2), (-t_2, t_2), (-t_2, -t_2), (t_2, -t_2)$  の1組も (11) の根となりうることがわかる。

以上述べた2組のほかに(11)を満足する点の存しないことはただちにわかるから、根の種類をつぎ組に分類しよう。

I組:  $(-t_1, 0), (0, -t_1), (0, t_1), (t_1, 0)$  ( $t_1 \neq 0$ )

II組;  $(-t_2, -t_2), (-t_2, t_2), (t_2, -t_2), (t_2, t_2)$  ( $t_2 \neq 0$ )

そこで、(11)における  $t, u$  の根は、これらのいずれかの組またはこれら 2 組の組合せとなつて存在する。ゆえに、 $t, u$  の根の最小は I 組または II 組の 4 点、つぎは I 組と II 組との 8 点である。

つぎに、係数  $R_i$  について考察すると、(8) 式より明らかなように、 $R_i$  は  $v_i$  の重みともいべきものであるから、 $v = g(t, u)$  が任意の曲面形であることからして、例えれば点  $(-t_1, 0)$  における函数値  $v_1$  の重みを  $R_1$  とするとき、この点と同じ組に属する点  $(0, -t_1)$  における函数値  $v_2$  の重みを  $R_1$  と異なつた他の値とすべきなんらの理由も存在しない。すなわち、同じ組に属する 4 点における各函数値に乘じるべき係数  $R_i$  はすべて同一でなければならない。そこで、I 組における係数をすべて  $R_1$ 、II 組における係数をすべて  $R_2$  としよう。このようにして、われわれは(11)の未知数の数を減少させることができる。

まず、(11)の上より 10 個の方程式をとり、これらを満足する根を考えよう。

$$\left. \begin{aligned} \sum_{i=1}^n R_i = 1, \quad \sum_{i=1}^n R_i t_i^2 = \sum_{i=1}^n R_i u_i^2 = 1/3, \\ \sum_{i=1}^n R_i t_i = \sum_{i=1}^n R_i u_i = \sum_{i=1}^n R_i t_i u_i = \sum_{i=1}^n R_i t_i^3 \\ = \sum_{i=1}^n R_i t_i^2 u_i = \sum_{i=1}^n R_i t_i u_i^2 = \sum_{i=1}^n R_i u_i^3 = 0 \end{aligned} \right\} \dots\dots (12)$$

いま、 $n=4$ として、I組を採用し、かつ、上の観察にしたがつて簡単にすると、

$$4R_1=1, \quad 2R_1t_1^2=1/3 \quad \dots \dots \dots \quad (13)$$

となり、(12)において右辺が 0 となる 7 式はすべて満足されていることが容易にわかる。

(13)式より、 $R_1=1/4$ ,  $t_1=\sqrt{2/3}$ . ……(14)

ゆえに、(12)を満足する4点は、

$$(-\sqrt{2/3}, 0), (0, -\sqrt{2/3}), (0, \sqrt{2/3}),$$

であつて、(2) 式により  $x, z$  の値になおすと、

$$\begin{aligned}x_1 &= (1 - \sqrt{2/3})b/2 = 0.092 b, \quad z_1 = h/2 = 0.500 h \\x_2 &= b/2 = 0.500 b, \quad z_2 = (1 + \sqrt{2/3})h/2 = 0.092 h \\x_3 &= b/2 = 0.500 b, \quad z_3 = (1 + \sqrt{2/3})h/2 = 0.908 h \\x_4 &= (1 + \sqrt{2/3})b/2 = 0.908 b, \quad z_4 = h/2 = 0.500 h \\&\dots\end{aligned}\quad (16)$$

そこで、点  $(0.092 b, 0.500 h)$  に流速計を挿入して測定した流速を  $v_{0.092 \atop 0.500}$  (他も同様) とすれば、全断面平均流速  $V_m$  は、

$$V_m = (1/4) (v_{0.092} + v_{0.500} + v_{0.500} + v_{0.908}) \dots \dots \dots (17)$$

さて、(17) 式の誤差  $E$  はつきのようにして評価さ

れる。

一般の曲面  $v = g(t, u)$  を (5) 式のように  $t, u$  の無限ベキ級数に展開すれば、全断面平均流速は (7) 式の右辺のような無限級数の和として求められるが、(12) の連立方程式をたてることは、(7) 式の右辺と (10) 式の右辺における  $a_{0,0}, a_{1,0}, a_{0,1}, a_{2,0}, a_{1,1}, a_{0,2}$ ,  $a_{3,0}, a_{2,1}, a_{1,2}, a_{0,3}$  の各係数をそれぞれ等しいとおいたことである。したがつて、 $a_{0,3}$  のつきの項以下すなわち  $a_{4,0}$  の項以下は、(7) 式と (10) 式とで一般に等しくならない。この差が  $E$  にはかならないが、 $E$  の大体の値を評価するため、 $a_{4,0}, a_{3,1}, a_{2,2}, a_{1,3}, a_{0,4}$  の 5 項についてのみ考え、両式におけるこれらの項の差の代数和として  $E$  を求める。

(7)式では、

$$a_{4,0}/5 + a_{2,2}/9 + a_{0,4}/5 \dots \dots \dots \quad (18)$$

(10)式では、

$$a_{4,0} \sum_{i=1}^4 R_i t_i^4 + a_{3,1} \sum_{i=1}^4 R_i t_i^3 u_i + a_{2,2} \sum_{i=1}^4 R_i t_i^2 u_i^2 \\ + a_{1,3} \sum_{i=1}^4 R_i t_i u_i^3 + a_{0,4} \sum_{i=1}^4 R_i u_i^4 \dots \dots \dots (19)$$

(19)式に(15)の結果を入れると

$$\sum_{i=1}^4 R_i t_i^4 = \sum_{i=1}^4 R_i u_i^4 = \{(2/3)^2 + (2/3)^2\}/4 = 2/9,$$

$$\sum_{i=1}^4 R_i t_i^3 u_i = \sum_{i=1}^4 R_i t_i^2 u_i^2 = \sum_{i=1}^4 R_i t_i u_i^3 = 0$$

となるから、

$$\begin{aligned}
 E &= \left(\frac{1}{5} - \frac{2}{9}\right) a_{4,0} + \left(\frac{1}{9} - 0\right) a_{2,2} + \left(\frac{1}{5} - \frac{2}{9}\right) a_{0,4} \\
 &= -\frac{1}{45}(a_{4,0} + a_{0,4}) + \frac{a_{2,2}}{9} \\
 &= -\frac{1}{45 \cdot 4!} \left( \frac{\partial^4 g}{\partial t^4} + \frac{\partial^4 g}{\partial u^4} \right)_{t=0} + \frac{6}{9 \cdot 4!} \left( \frac{\partial^4 g}{\partial t^2 \partial u^2} \right)_{t=0} \\
 &= -\frac{1}{1080} \left( \frac{\partial^4 g}{\partial t^4} + \frac{\partial^4 g}{\partial u^4} \right)_{t=0} + \frac{1}{36} \left( \frac{\partial^4 g}{\partial t^2 \partial u^2} \right)_{t=0} \\
 &\quad \dots \dots \dots \quad (20)
 \end{aligned}$$

(20)式より明らかのように、 $v=g(t,u)$  が  $t,u$  に関する 3 次曲面またはそれ以下の次数の曲面（したがつて、 $v=f(x,z)$  が  $x,z$  に関する高々 3 次の曲面）ならば、(17) 式は全く誤差をともなわないことがわかる。もし、 $v=g(t,u)$  したがつて  $v=f(x,z)$  が 4 次曲面ならば、その誤差は正しく(20)式で与えられるが、5 次曲面であつても、その誤差は正しく(20)式で与えられる。なぜならば、 $t,u$  に関する 5 次の項は 2 重積分の結果すべて 0 となつて、(7) 式の右辺には  $a_{r,s}$  ( $r+s=5$ ) の項は含まれず、かつ、(10)式の右辺において、 $\sum_{i=1}^4 R_i t_i^r u_i^s = 0$  ( $r+s=5$ ) となるからである。

以上は、I組を採用したときの方式であるが、II組



となるから、

$$\begin{aligned}
 E &= \left( \frac{1}{7} - \frac{259}{2025} \right) a_{6,0} + \left( \frac{1}{15} - \frac{7}{81} \right) a_{4,2} + \left( \frac{1}{15} - \frac{7}{81} \right) a_{2,4} \\
 &+ \left( \frac{1}{7} - \frac{259}{2025} \right) a_{0,6} = \frac{212}{14175} (a_{6,0} + a_{0,6}) \\
 &- \frac{8}{405} (a_{4,2} + a_{2,4}) = \frac{212}{14175 \cdot 6!} \left( \frac{\partial^6 g}{\partial t^6} + \frac{\partial^6 g}{\partial u^6} \right)_{t=0} \\
 &- \frac{8 \cdot 15}{405 \cdot 6!} \left( \frac{\partial^6 g}{\partial t^4 \partial u^2} + \frac{\partial^6 g}{\partial t^2 \partial u^4} \right)_{u=0} \\
 &= \frac{53}{2551500} \left( \frac{\partial^6 g}{\partial t^6} + \frac{\partial^6 g}{\partial u^6} \right)_{t=0} \\
 &- \frac{1}{2430} \left( \frac{\partial^6 g}{\partial t^4 \partial u^2} + \frac{\partial^6 g}{\partial t^2 \partial u^4} \right)_{u=0} \quad \dots \dots \dots (34)
 \end{aligned}$$

(34)式より明らかなように、 $v=g(t, u)$  が  $t, u$  に関して高々 5 次曲面したがつて  $v=f(x, z)$  が  $x, z$  に関して高々 5 次曲面ならば、(31) 式は全く誤差をともなわず、6 次曲面または 7 次曲面ならば、その誤差は正しく (34) 式で与えられる。

## 2. 矩形断面における流量測定

水面巾が  $b$ 、水深が  $h$  であるような矩形断面の流量は、2次元における平均値法を応用して容易かつ正確に測定することができる<sup>1)</sup>。このとき、水深は水面巾に沿つて一定であるから、横断流量曲線の次数は平均流速曲線の次数と同じになり、自然河川の場合にくらべて、横断流量曲線の次数は低く、したがつて水面巾に沿つてとるべき測定点の数は比較的少なくてすむはずである。自然河川の場合、利根川栗橋地先におけるように、水面巾が 300 m を越えるようなときでも、水面巾に沿つてとるべき測定点は 7 点で十分であり、しかもこの 7 点のうち、両岸に近い 2 点を省略し 5 点として十分満足すべき結果がえられる<sup>2)</sup>。そこで、矩形のような整正断面では、水面巾に沿つてとるべき測定点の数は 4 つで十分ではないかと思われる。このように、2次元での平均値法を応用すれば、簡単に流量を測定しうるわけであるが、ここでは、3次元への平

均値法の拡張を適用して流量を求める方法を掲げ、二三の例についてその精度を検討してみたいと思う。

いま、 $v_{0.211}$  は、水面巾に沿つて一方の岸より（どちらの岸からでもよい）2割 1 分 1 厘、水深に沿つて水表面より（河底からでもよい）7割 8 分 9 厘の点の流速を表わすものとし、他も同様とすれば、全断面平均流速  $V_m$  は、流速分布の曲面が高々 3 次ならば 4 点法（2つの方式がある）、高々 5 次ならば 8 点法を用い、つぎの式で表わされる。

$$n=4; V_m = (1/4) \left( v_{0.211} + v_{0.211} + v_{0.789} + v_{0.789} \right) \quad \dots \dots \dots (35)$$

$$V_m = (1/4) \left( v_{0.092} + v_{0.500} + v_{0.500} + v_{0.908} \right) \quad \dots \dots \dots (36)$$

$$\begin{aligned}
 n=8; V_m &= (1/196) \{ 40(v_{0.158} + v_{0.500} + v_{0.500} \\
 &+ v_{0.842}) + 9(v_{0.059} + v_{0.059} + v_{0.941} \\
 &+ v_{0.941}) \} \quad \dots \dots \dots (37)
 \end{aligned}$$

図-2 は、これらの公式に用いられる観測点を図示したものである。4点法の2つの方式のうちでは、観測点が中央部に近く、観測が容易である (35) 式の方が推奨される。

図-3 は、1900~1901 年に Cornell 大学水理実験室において、E.C. Murphy により実測された資料<sup>3)</sup> の 1 つである。この実験の目的は鉢縁堰による流量と流速計を用いた種々な方法によつて測定される流量との比較研究であつて、ここに掲げた資料は、Series C, No. 14 の実験結果である。巾および水深は ft 単位、観測点に示した数字は、Small Price Meter によつて測定された流速を ft/sec 単位で示したものである。このとき、堰による全断面平均流速  $V_m$  は、 $V_m = 1.45 \text{ ft/sec}$  と測定されている。

さて、図に示したように、等流速線は相当複雑であ

図-2

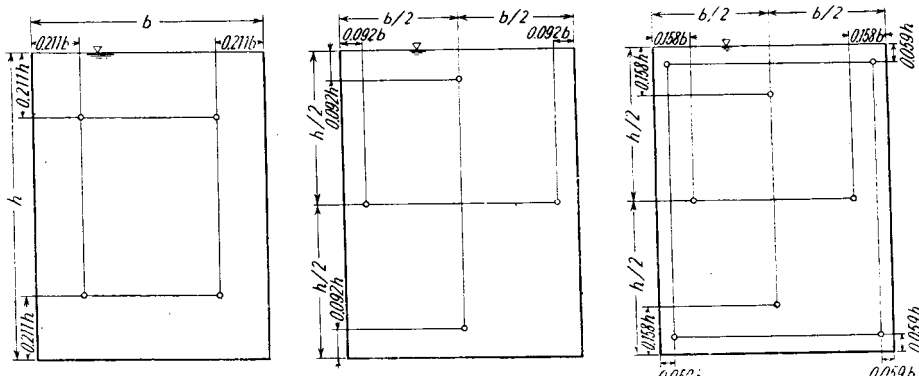
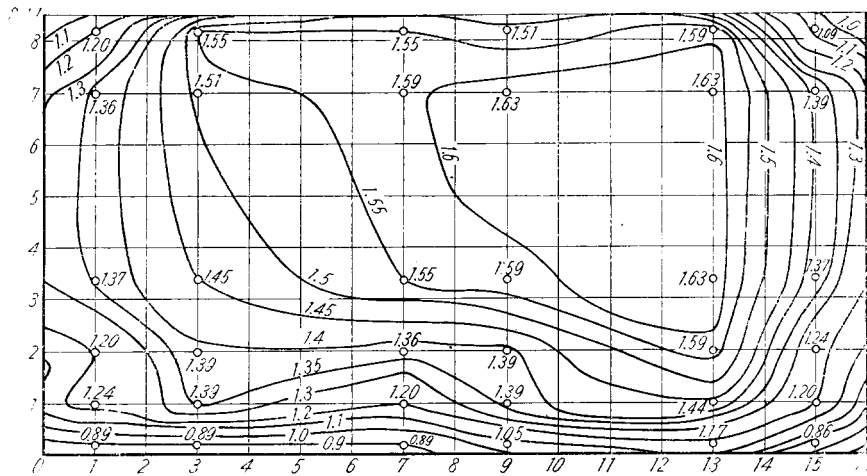


図-3



数えて計算した。その結果はつぎのとおりである。ここに、 $A_{14}$  は流速が 14 cm/sec である等流速線によつて囲まれた面積 ( $\text{cm}^2$ ) を表わし、他も同様である。ただし、 $A_0$  は全断面積 ( $\text{cm}^2$ ) である。

$$A_0 = 375.00, A_{14} = 349.70, A_{15} = 337.36, A_{16} = 326.09, A_{17} = 314.30, A_{18} = 295.64, A_{19} = 275.04, A_{20} = 246.64, A_{21} = 213.88, A_{22} = 175.70, A_{23} = 136.42, A_{24} = 69.79, A_{24.5} = 28.35, A_{25} = 11.68$$

そこで、例えれば、 $A_{14}$  と  $A_{15}$  との間の流量は、 $(A_{14} - A_{15})(15+14)/2 = 178.93(\text{cm}^3/\text{sec})$  で求められ、他も同様である。ただし、 $A_0$  と  $A_{14}$  との間の流量は、流速が水路壁で 0 で壁を離れると急激に増大するため、この間の流速の平均を 7 cm/sec としたのでは過小であるから、12 cm/sec とした。また、25 cm/sec の等流速線によつて囲まれた部分の流量は、流速の平均を 25.5 cm/sec として計算した。計算の結果、全断面平均流速  $V_m$  は、 $V_m = 20.7 \text{ cm/sec}$  となつた。

さて、図一4 の等流速線を利用して、(37) 式の各観測点における流速（単位は cm/sec）を読みとると、

$$v_{0.158} = 20.5, v_{0.500} = 25.2, v_{0.500} = 22.6, \\ 0.500 \quad 0.158 \quad 0.842$$

$$v_{0.059} = 17.0, v_{0.059} = 14.5 \\ 0.059 \quad 0.941$$

$$\therefore V_m = 21.0, E = (21.0 - 20.7)/20.7 = +1.4\%$$

この場合にも十分満足すべき結果がえられる（4 点法の(35)式を用い、かつ、流速分布の対称性を考えて、

左断面の点のみを用いて計算すると、 $E = +4.8\%$  となつた）。

### 3. 結 語

(1) 平均値法を 3 次元に拡張すれば、3 次曲面まで誤差をともなわない 4 点法の式として、(35)式および(36)式がえられる。この 2 つの方式のうちでは、実測が容易な(35)式が推奨される。さらに、5 次曲面まで誤差をともなわない 8 点法の式として、(37)式がえられる。

(2) 矩形断面の開水路についての Murphy の実験資料に上の式を適用すると、8 点法で十分満足すべき結果がえられる。また、Nikuradse の実験資料のように、流れが断面の中心線に関して左右対称な場合には、わずか 5 点で十分満足すべき結果がえられる。

### 参 考 文 献

- 1) 春日屋伸昌：平均値法による流量算定式について、土木学会誌 第 38 卷 第 7 号。
- 2) 春日屋伸昌：平均値法の原理と流量測定への応用、中央大学七十周年記念論文集、昭和 30 年 11 月。
- 3) E.C. Murphy : Accuracy of Stream Measurements, 1904, p. 59~p. 100.
- 4) J. Nikuradse : Untersuchung über die Geschwindigkeitsverteilung in turbulenten Strömungen, Forschungsarbeiten des V.D.I., 1926, p. 281.

(昭.30.5.17)

## 三径間連続バリの支承沈下が曲げモーメントに 与える影響について

正員 深谷俊明\*

### THE BENDING MOMENT DUE TO THE SETTLEMENT OF SUPPORTS OF A THREE-SPAN CONTINUOUS BEAM

(JSCE Dec. 1955)

Toshiaki Fukaya, C.E. Member

**Synopsis** It is generally recognized that settling of supports of a three-span continuous beam bridge greatly effects the bending moment. However, inasmuch as the calculation to determine the influence of the settlement is comparatively complicated and not yet fully developed, designees generally work up a plan on the assumption that supports are not subject to settlement.

On the otherhand, there are many cases where we must consider the settlement of supports in designing. Furthermore, when the settlement occurs, the bending moments of bridge originally considered in designing should sometimes change, then we must correct the calculation and secure the safety of the bridge. In such consideration, the writer has tried to induce a general formula to figure out the bending moment due to

\* 国鉄技師、施設局特殊設計室